

7. Nesheim B.-I. Effect of noradrenaline and isoprenaline on the circular and longitudinal muscle of the oestrogen dominated rabbit uterus // Acta pharmacol. and toxicol. — 1972. — 31, N 2. — P. 296—304.
8. Quirk S., Currie W. Uterine steroid receptor changes in late pregnancy associated with progesterone withdrawal in rabbits // Biol. Reprod. — 1981. — 24, suppl. 1. — P. 27A.
9. Zander H., Pauerstein C., Fremming B., Filner B. Failure of propranolol to antagonize helatone depression of the uterus // Anesthesiol. and Analg. Curr. Res. — 1970. — 49, N 6. — P. 948—955.

Челяб. мед. ин-т МЗ СССР. Зондирование гипоталамуса и спинного мозга. Поступила 11.04.85

УДК 577.37:577.352.4.5:591.044.2:612.819

З. А. Сорокина, И. В. Чижаков

ЗАВИСИМОСТЬ ПРОЦЕССА БЛОКИРОВАНИЯ ТЕТРОДОТОКСИНОМ ВХОДЯЩЕГО НАТРИЕВОГО ТОКА ОТ СОДЕРЖАНИЯ В СРЕДЕ ИОНОВ НАТРИЯ

Современное представление о молекулярных механизмах блокирующего действия тетродотоксина (TTX) и сакситоксина (CTX) на быстрые натриевые каналы возбудимых мембран основано на их способности взаимодействовать с определенными рецепторными участками образующих канал белковых молекул. Как показали исследования, проведенные различными электрофизиологическими методами, это взаимодействие обнаруживает исключительно высокую аффинность, уникальную специфичность и носит некооперативный и обратимый характер [15, 24, 28]. Содержание в среде одновалентных катионов оказывает незначительное влияние на взаимодействие с натриевыми каналами CTX и TTX [9, 10].

В то же время в литературе широкое распространение получили представления о том, что одновалентные катионы существенно снижают связывание CTX и TTX. Данные такого рода получены в опытах, в которых исследовалось взаимодействие меченых препаратов токсинов с изолированными мембранными фракциями различных тканей [8, 14, 20, 25, 27, 34]. Нельзя не отметить противоречивость этих данных. На одних препаратах взаимодействие ионов натрия среды и токсинов представляет собой обычную конкуренцию за участки связи, а на других обнаруживает свойства кооперативного процесса с коэффициентом Хилла более двух. Конкурентные взаимоотношения TTX и одновалентных катионов рассматриваются авторами этих работ как доказательство наличия в наружном устье канала катионсвязывающей кислотной группы, входящей в состав селективного фильтра и рецептора токсина.

В настоящем исследовании предпринята попытка проверить представления о конкурентных взаимоотношениях между ионами натрия и TTX, исследуя входящие натриевые токи нервных клеток в условиях внутриклеточного диализа и фиксации потенциала.

Методика

Опыты проводили в условиях внутриклеточного диализа (перфузии) с использованием метода фиксации потенциала на мембране изолированных нейронов спинальных ганглиев крыс возраста 14—21 сут [2]. Методика изоляции нейронов не отличалась от описанной ранее [5]. Для устранения калиевого входящего тока клетки перфузировали раствором трис-фтор (концентрация 150 ммол/л, pH 7,2). Основной наружный раствор содержал (ммоль/л): NaCl — 125, CaCl₂ — 2,0, MgCl₂ — 2,0, трис-HCl или Hepes-NaOH — 20,0; pH раствора 7,36. В растворах с уменьшенной концентрацией натрия NaCl замещали эквимолярным количеством трис-HCl. Исходный потенциал на мемbrane (holding potential) фиксировали на уровне — 100 мВ, и измерения транс-

мембранных токов производились на входе тенциала, подавали на входящей обработке информации. В работе использовали комнатной температуре 20—25°. В области физиологические значения входящей зависимости от [Na⁺]₀. Гидратов TTX формально ме-

где R — рецепторный участок, где одна молекула характеризуется отчетливо выраженной термой Ленгмюра [33].

В стационарном состоянии (θ) можно определить натриевого тока по следующему выражению:

где I(0) — амплитуда входящего тока с токсином. Зная значение K_d образующегося комплекса, можно определить константу связывания токсина с мембраной.

Здесь T — концентрация токсина в растворе. Из уравнения (1) следует, что при отмытии клетки в растворе T → 0, ток I(0) → 0, т. е. ток достигает стационарного состояния.

где τ₁ — постоянная времени отмытия тока, 1/τ₁ = k₁T + k₂.

При отмытии уменьшается концентрация токсина в растворе.

где τ₂ — постоянная времени отмытия токсина из канала, τ₂ = 1/k₂.

В первой серии опытов (n = 87), изучали влияние одновалентных катионов на характеристики натриевого тока. На рис. 1 приведены результаты изучения зависимости тока TTX каналов (θ) от концентрации TTX в растворе. Во-первых, видно, что с увеличением концентрации TTX каналов (θ) от концентрации TTX в растворе. Во-вторых, видно, что с увеличением концентрации TTX каналов (θ) от концентрации TTX в растворе.

Физиол. журн., 1986, т. 32, № 4

enaline on the circular and longitudinal uteruses // Acta pharmacol. and toxicol. in late pregnancy associated with ed. — 1981. — 24, suppl. 1. — P. 27A. 3. Failure of propranolol to antagonize, and Analg. Curr. Res. — 1970. —

Поступила 11.04.85

БЛОКИРОВАНИЯ НАТРИЕВОГО ТОКА ИОНОВ НАТРИЯ

В мембранных механизмах блоки- и сакситоксина (СТХ) на мембране основано на их спо- вными рецепторными участка-ми. Как показали исследования, ическими методами, это вза- высокую аффинность, уни- вративный и обратимый ха- ке одновалентных катионов амодействие с натриевыми распределение получили катионы существенно си- кого рода получены в опы- ие меченных препаратов ток- ациями различных тканей противоречивость этих дан- ионов натрия среди и ток- енцию за участки связи, а гивного процесса с коэффи- взаимоотношения СТХ и и авторами этих работ как канала катионсвязывающей активной фильтрации и рецеп- а попытка проверить пред- иях между ионами натрия и нервных клеток в услови- тенциала.

диализа (перфузии) с использо- ванием изолированных нейронов спинального изоляции нейронов не отличавшегося от входящего тока клетки пер- ммоль/л, pH 7,2). Основной на- aCl₂ — 2,0, MgCl₂ — 2,0, три-Cl₂ с уменьшенной концентрацией три-Cl₂. Исходный потенциал — 100 мВ, и измерения транс-

мембранных токов производили при максимуме вольтамперной характеристики их пиковых значений. Ток, протекающий через мембрану при деполяризующем смещении потенциала, подавали на вход аналого-цифрового преобразователя ЭВМ, осуществляю- щей обработку информации.

В работе использовали тетродотоксин фирмы «Sankyo». Опыты проводили при комнатной температуре 20—22 °C. При статистической обработке данных методами вариационной статистики подсчитывали стандартную ошибку среднего.

Результаты

В области физиологических внеклеточных концентраций Na⁺ пиковые значения входящего натриевого тока обнаруживают линейную зависимость от [Na⁺]₀. Процесс блокирования быстрых натриевых каналов СТХ формально можно описать уравнением

$$[R] + TTX \xrightleftharpoons[k_2]{k_1} [RTTX], \quad (1)$$

где R — рецепторный участок канала, с которым обратимо взаимодействует одна молекула токсина, k₁ и k₂ — константы. Такой процесс характеризуется отчетливым насыщением и хорошо описывается изотермой Ленгмюра [33].

В стационарном состоянии долю числа заблокированных СТХ каналов (Θ) можно определить с помощью пиковых значений входящего натриевого тока по следующей формуле:

$$\Theta = \frac{I(0) - I(T)}{I(0)}, \quad (2)$$

где I(0) — амплитуда входящего натриевого тока без токсина, I(T) — с токсином. Зная значение Θ , можно рассчитать константу диссоциации (K_d) образующегося комплекса токсин — канал:

$$K_d = T \frac{1 - \Theta}{\Theta}. \quad (3)$$

Здесь T — концентрация токсина.

Из уравнения (1) следует, что по мере увеличения времени экспозиции клетки в растворе с СТХ значение Θ будет расти экспоненциально до стационарного значения

$$\Theta(t) = \frac{T}{K_d + T} (1 - e^{-t/\tau_1}), \quad (4)$$

где τ_1 — постоянная времени процесса блокирования входящего натриевого тока. $1/\tau_1 = k_1 T + k_2$.

При отмытке уменьшение Θ будет описываться формулой

$$\Theta(t) = \frac{T}{K_d + T} e^{-t/\tau_2}, \quad (5)$$

где τ_2 — постоянная времени распада (диссоциации) комплекса токсин — канал. $\tau_2 = 1/k_2$.

В первой серии опытов, проведенной на большом числе клеток ($n = 87$), изучали влияние внеклеточной концентрации Na⁺ на стационарные характеристики процесса блокирования СТХ входящего натриевого тока. На рис. 1 представлена зависимость доли заблокированных СТХ каналов (Θ) от концентрации токсина в среде при разной [Na⁺]₀. Во-первых, видно, что экспериментальные данные хорошо согласуются с представлением об одномолекулярном механизме взаимодействия токсин — канал, и, во-вторых, свидетельствуют о том, что в мембране нейронов спинальных ганглиев имеется лишь один тип рецепторов СТХ. Константы диссоциации комплекса токсин — канал (K_d) при

концентрациях натрия 40, 90 и 125 моль/л составляли $(3,28 \pm 0,31) \times 10^{-9}$, $(3,32 \pm 0,36) \cdot 10^{-9}$ и $(3,41 \pm 0,35) \cdot 10^{-9}$ моль соответственно. Среднее значение K_d составляло $(3,40 \pm 0,28) \cdot 10^{-9}$ моль.

Таким образом, обнаруживается тенденция к увеличению K_d при повышении концентрации ионов натрия в среде, но различия между ее значениями статистически незначимы.

Поскольку K_d представляет собой отношение констант скоростей обратной и прямой реакции взаимодействия TTX с натриевым каналом, $K_d = k_2/k_1$, то в принципе не исключена возможность одновременного их изменения таким образом, что K_d остается постоянной (в пределах ошибки опыта). С целью проверки этого предположения во второй серии опытов исследовали кинетику формирования и диссоциации

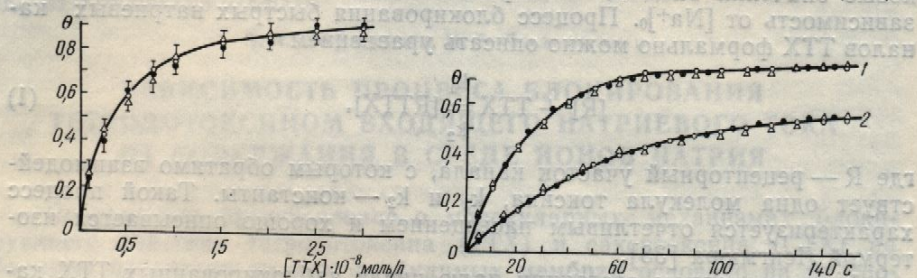


Рис. 1. Зависимость доли блокированных TTX натриевых каналов (Θ) от концентрации TTX (10^{-8} моль/л) при различном содержании ионов натрия в наружном растворе (моль/л): ● — 125; ○ — 90; △ — 40.

Рис. 2. Зависимость доли блокированных TTX натриевых каналов (Θ) от времени при концентрациях TTX 10^{-8} моль/л (1) и $5 \cdot 10^{-8}$ моль/л (2) и различных концентрациях ионов натрия в наружном растворе (обозначения те же, что и на рис. 1).

комплекса TTX — канал, позволяющую рассчитать независимо каждую из констант скоростей уравнений (4) и (5). Опыты проводили следующим образом. Диализируемые нейроны помещали в раствор, содержащий определенные концентрации TTX и $[Na^+]_0$, до достижения стационарного состояния, а затем отмывали раствором Рингера без TTX до стационарных значений входящего натриевого тока. На рис. 2 представлена временная зависимость доли блокированных TTX натриевых каналов при двух различных концентрациях TTX и трех — натрия в среде — 40, 90 и 125 моль/л. Как видно, кинетика блокирования TTX входящего натриевого тока в растворах при разных концентрациях ионов натрия существенно не различается. Значения k_1 и k_2 оказались почти идентичными в каждом из исследованных растворов и составляли $3,58 \cdot 10^6$ моль⁻¹ с⁻¹ и $1,3 \cdot 10^{-2}$ с⁻¹.

На рис. 3 показана кинетика диссоциации комплекса TTX — канал при тех же концентрациях натрия. Значения k_2 в этом случае составляют $1,11 \cdot 10^{-2}$ с⁻¹. Заметим, что аналогичные значения k_1 и k_2 получены в кинетических исследованиях, проведенных на других объектах [33].

Таким образом, независимость обеих констант скоростей от $[Na^+]_0$ приводит к постоянству значений K_d в исследуемых пределах концентраций этих ионов.

Следующим прямым доказательством отсутствия конкуренции ионов натрия среды и TTX за связывающий центр рецептора являются данные, полученные в третьей серии опытов. Как уже говорилось, в области физиологических внеклеточных концентраций Na^+ пиковые значения входящего натриевого тока линейно зависят от $[Na^+]_0$. Если заблокировать TTX 40 % каналов, а затем при той же концентрации токсина изменить $[Na^+]$ со 125 до 0 моль/л, то линейная зависимость пиковых значений тока от содержания в среде Na^+ должна искривиться в случае конкуренции за связывающий центр рецептора.

Эта зависимость будет и увеличение сродства, и TTX за участки связывающие на рис. 4. Как видим, о значений входящего натрия в среде взаимодействия быстрых натриевых

Таким образом, прошло, что разные методы

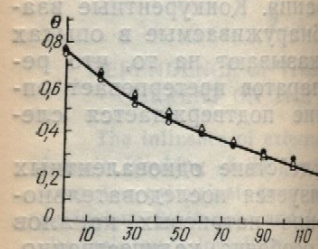


Рис. 3. Зависимость доли блокирований от времени в период десорбции концентрациях ионов

Рис. 4. Изменение амплитуды тока ионов натрия в среде в отсутствие TTX при

зрения относительно влияния токсина с каналами. Проведение анализа данных, полученных электрофизиологическим методом, обходило выяснить, что канал и характер взаимодействия следние годы исследованы новым направлением: СТХ и гуанидином [17—биологической (денервационной) модификации реагентов на определенном уровне и 3-е — сравнительное и с высокой и низкой TTX-чувствительностью]. Полученные экспериментальные данные показывают, что селективный фильтр на прежнем представлении о расположении TTX на мембране. Идентификация молекул токсинов, которые гуанидиновая группа и ее модификация TTX с рецепторами. Авторы некоторых групп, вероятно, вступают в канал. Группы

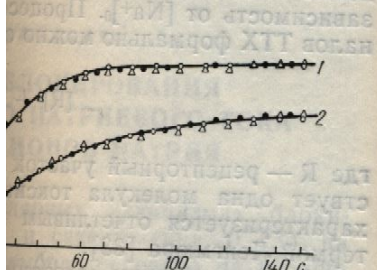
Физиол. журн., 1986, т. 32,

оль/л составляли $(3,28 \pm 0,31) \times 10^{-9}$ моль соответственно. Среди 10^{-9} моль.

иденция к увеличению K_d при

в среде, но различия между

отношение констант скоростей TTX с натриевым каналом останется постоянной (в пределах этого предположения во вторичного формирования и диссоциации



натриевых каналов (θ) от концентрации ионов натрия в наружном растворе

натриевых каналов (θ) от времени при $[Na^+]_0 = 125$ моль/л (2) и различных концентрациях ионов натрия (такие же, что и на рис. 1).

рассчитать независимо каждую). Опыты проводили следующим образом: в раствор, содержащий TTX и $[Na^+]_0$, до достижения равновесия с наружным раствором Рингера без натриевого тока. На рис. 2 видно, что концентрации блокированных TTX натриевых каналов в растворах при разных концентрациях TTX и трех ионов натрия не различается. Значения k_1 и k_2 вычислены из исследованных распределений θ в 10^{-8} с^{-1} .

Коэффициент комплекса TTX — константа k_2 в этом случае совпадает с константами k_1 и k_2 , полученных на других объектах.

констант скоростей от $[Na^+]_0$ в пределах концентраций, следуемых

отсутствия конкуренции ионов натрия и центра рецептора. Как уже говорилось, константы k_1 и k_2 не зависят от концентраций $[Na^+]_0$. Если при той же концентрации $[Na^+]_0 = 125$ моль/л, то линейная зависимость в среде Na^+ должна выглядеть, как показано на рисунке 1.

Эта зависимость будет вогнутой, если уменьшение $[Na^+]_0$ вызывает увеличение сродства, и выпуклой, если ионы натрия конкурируют с TTX за участки связывания. Результаты этих опытов представлены на рис. 4. Как видим, отклонений от линейной зависимости пиковых значений входящего натриевого тока от $[Na^+]_0$ не наблюдается.

Обсуждение

Приведенные экспериментальные данные позволяют прийти к заключению, что в области физиологических концентраций ионов натрия в среде взаимодействие TTX со связывающими центрами рецептора быстрых натриевых каналов не зависит от $[Na^+]_0$.

Таким образом, проведенное нами исследование еще раз показало, что различные методы приводят к прямо противоположным точкам

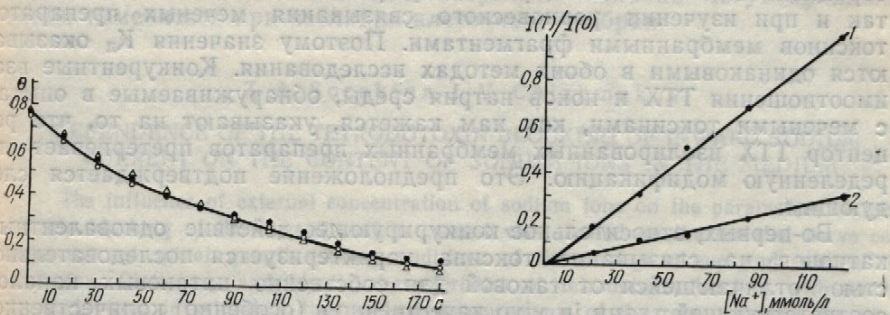


Рис. 3. Зависимость доли блокированных TTX (10^{-8} моль/л) натриевых каналов (θ) от времени в период десорбции в нормальном рингеровском растворе при различных концентрациях ионов натрия (обозначения те же, что и на рис. 1).

Рис. 4. Изменение амплитуды входящего натриевого тока при уменьшении концентрации ионов натрия в среде в отсутствие TTX (1) и при концентрации TTX 10^{-8} моль/л (2). Амплитуда нормировалась на постоянное пиковое значение силы тока, измеренной в отсутствие TTX при концентрации натрия 125 моль/л: $I(t)/I(0)$.

зрения относительно влияния факторов внешней среды на связывание токсина с каналами. Поэтому возникает необходимость детального анализа данных, полученных двумя альтернативными методами — электрофизиологическим и изотопным. Первый вопрос, который необходимо выяснить, это месторасположение рецепторных участков в канале и характер взаимодействия с ними TTX и ионов натрия. В последние годы исследования в этой области проводили по трем основным направлениям: 1-е — применение различных дериватов TTX, СTX и гуанидина [17—19, 22, 26, 32]; 2-е — использование методов биологической (денервация ткани, культура ткани) [12—31] и химической модификации канального белка (применение специфических реагентов на определенные функциональные группы) [7, 23, 25, 29] и 3-е — сравнительное изучение свойств натриевых каналов у клеток с высокой и низкой TTX-аффинностью [6, 16].

Полученные экспериментальные данные позволяют считать, что селективный фильтр натриевого канала и рецептор TTX, вопреки прежним представлениям [15], пространственно разобщены. Рецептор TTX расположен вблизи устья канала, на наружной поверхности мембранны. Идентифицированы функционально важные участки молекул токсинов, которыми являются положительно заряженная гуанидиновая группа и незаряженные части молекул. О природе взаимодействия TTX с рецептором на сегодняшний день нет единого мнения. Авторы некоторых работ [17—19] полагают, что гуанидиновая группа, вероятно, вступает в электростатическое взаимодействие с кислотной (карбоксильной) группой рецептора, расположенной вблизи входа в канал. Группы — гуанидиновая, C-4, C-6 и C-11 — располагаются

ются в одной плоскости; три последние образуют с рецептором слабые (водородные) связи. Молекула TTX оказывается, таким образом, распластанной на поверхности мембранных. По мнению других авторов [32] взаимодействие TTX с рецептором представляет собой двухстадийную реакцию. В первой стадии происходит нейтрализация положительного заряда гуанидиновой группы, образующей ионную связь с рецептором. Это, в свою очередь, может привести к перемещению электрона с атома азота гуанидина на C-4, что вызовет дегидратацию гем-диола с образованием негидратированного кетона при C-12, и в результате между ним и нуклеофильной группой рецептора образуется слабая ковалентная связь. Кроме того, предполагается возможность одной или нескольких водородных связей [17—19].

Несомненно, что расположение рецепторной части натриевого канала на наружной поверхности мембранных может обусловить сходство сорбционных свойств как при электрофизиологических исследованиях, так и при изучении равновесного связывания меченых препаратов токсинов мембранными фрагментами. Поэтому значения K_d оказываются одинаковыми в обоих методах исследования. Конкурентные взаимоотношения TTX и ионов натрия среды, обнаруживаемые в опытах с меченными токсинами, как нам кажется, указывают на то, что рецептор TTX изолированных мембранных препаратов претерпевает определенную модификацию. Это предположение подтверждается следующим:

Во-первых, относительное конкурирующее действие одновалентных катионов на связывание токсина характеризуется последовательностью, отличающейся от таковой для собственно натриевых каналов соответствующей ткани *in vivo* качественно и (особенно) количественно. Например, на мембранный фракции нервного волокна лягушки получен ряд $Tl^+ > Li^+ > Na^+ > K^+ > Cs^+$; при этом сродство к Na^+ по сравнению с таковым к K^+ выше всего лишь в 2 раза. У собственно натриевых каналов перехвата Ранвье отношения проницаемостей для одновалентных катионов, определенные по измерению потенциалов, реверсии, следующие: $Na^+ : Li^+ : Tl^+ : K^+ = 1,0 : 0,93 : 0,33 : 0,086$ [25].

Во-вторых, данные о влиянии одновалентных катионов на связывание меченого TTX противоречивы. По данным одних авторов одновалентные катионы проявляют обычную конкуренцию за места связи [8, 14, 20, 25, 34], по данным других — кооперативные взаимодействия с коэффициентом Хилла более 2 [37]. В то же время взаимодействие TTX с натриевым каналом на всех исследованных электрофизиологическими методами объектах носит некооперативный характер [15, 33].

В последние годы получено большое число экспериментальных данных, свидетельствующих о важной роли макроструктуры натриевого канала и о динамических изменениях его конформации, сопровождающих переход из покоя в активное и инактивированное состояние. Конформационные сдвиги возникают и при различного рода фармакологических воздействиях на натриевый канал, обуславливая его работу в необычных режимах. Примечательно, что ряд свойств натриевого канала в изолированных препаратах мембран оказывается иными. Особенно демонстративны в этом отношении полученные недавно данные на одиночных натриевых каналах мозга и скелетных мышечных волокон, выделенных в виде синаптосом или мембранных везикул и встроенных в искусственные бислойные липидные мембранные (БЛМ) [11, 13, 21]. Модифицированные батрахотоксином, эти каналы обнаруживали потенциалозависимое связывание TTX и CTX. Потенциалозависимыми оказывались k_1 и k_2 . Кроме того, связывание TTX блокировалось ионами натрия, поскольку k_1 зависела от их концентрации с *cis*-стороны мембранных.

В связи с этим определенный интерес представляют эффекты собственно батрахотоксина и аконитина — химических агентов, воз-

действующих на ворота вызывают одновременно ионной селекцию таким образом, для таких ионов, как K^+ , имеется и канал стано и метиламмония [1, 3]. Селективность модифицированных ионов на связывание

Суммируя сказанное, курентные взаимоотношения мембранных препаратов меняются конформацией, определенные свойства значительно изменяются при

Z. A. ...

DEPENDENCE OF THE CURRENT ON THE

The influence of external toxin blocking of the current from the rat spinal ganglion perfusion. Stationary and transient channels were investigated, and inverse blocking reaction that the dissociation constant of sodium between tetrodotoxin and Na^+ that alternative results obtained with isolated membrane fractions changes in the conformation

A. A. Bogomoletz Institute of Academy of Sciences of the USSR

- Зубов А. Н., Наумов А. И. Каналы мембранные клеток // Клетка. — 1982. — № 423.
- Крышталь О. А., Пидопечкин // Нейрофизиология. — 1982. — № 2. — С. 152—160.
- Можаева Г. Н., Наумов А. И. Свойства натриевых каналов // Клетка. — 1982. — № 2. — С. 152—160.
- Ревенко Е. В., Ходоров // Каналы в мембране мышечных волокон // Клетка. — 1982. — № 3. — С. 313—317.
- Сорокина З. А., Чижман // Активация быстрых натриевого канала в макродактилиях и раздражение // Клетка. — 1982. — № 5. — С. 571—578.
- Чемерис Н. К. Специфика ионного тока // Биофизика. — 1982. — № 27.
- Baker P. F., Rubinson J. L. Effect of tetrodotoxin on the current with Meerwein's method // J. Physiol. — 1982. — Vol. 333. — P. 395—406.
- Colquhoun D., Ritchie J. The properties of mammalian non-myelinated nerve fibres // J. Physiol. — 1982. — Vol. 333. — P. 395—406.
- Colquhoun D., Hendershot W. G. Potassium channels in non-myelinated nerve fibres // J. Physiol. — 1982. — Vol. 333. — P. 395—406.
- French R. J., Worley J. L. Potassium channels in non-myelinated nerve fibres // J. Physiol. — 1982. — Vol. 333. — P. 301—312.

е образуют с рецептором сложную систему. По мнению других авторов, это представляет собой двухстадийный процесс: сначала происходит нейтрализация полоны, образующей ионную связь, что приведет к перемещению C-4, что вызовет дегидратацию цианного кетона при C-12, и в конечном результате образуется возможная связь [17–19].

Второй части натриевого канала может обусловить сходство физиологических исследований, изучения меченых препаратов оэтому значения K_d оказывается одинаковым. Конкурентные взаимодействия, обнаруживаемые в опытах, указывают на то, что реальные препараты претерпевают определенное подтверждение сле-

ющее действие одновалентных катионов на связанные с ними одни авторы однажды конкуренцию за места их кооперативные взаимодействия [37]. В то же время взаимодействие всех исследованных электролитов несит некооперативный характер.

Число экспериментальных макроструктур натриевого канала, сопровождающих его конформации, сопротивляемое инактивированное состояние при различного рода фармакологических воздействиях, обусловливая его линейно, что ряд свойств натриевого канала, мембранные окаживаются в отношении полученные на ацил-каналах мозга и скелетных нанаптосом или мембранных ионных липидных мембранах батрахотоксином, эти каналы связывают TTX и CTX. Кроме того, связывание TTX с каналами зависит от их конформации, что предполагает эффекты химических агентов, воз-

ействующих на воротное устройство натриевых каналов. Эти вещества вызывают одновременные изменения процессов активации, инактивации и ионной селективности натриевых каналов. Последняя изменяется таким образом, что относительная проницаемость канала для таких ионов, как NH_4^+ , Tl^+ , K^+ , гуанидин значительным образом увеличивается и канал становится заметно проницаемым для Rb^+ , Cs^+ , Ca^{2+} и метиламмония [1, 3, 4]. Нельзя не обратить внимания на то, что селективность модифицированных батрахотоксином и аконитином каналов и относительное конкурирующее действие одновалентных катионов на связывание TTX мембранными фрагментами весьма сходны.

Суммируя сказанное, можно заключить, что обнаруженные конкурентные взаимоотношения TTX и ионов натрия на изолированных мембранных препаратах обусловлены, вероятно, специфическими изменениями конформационного состояния канала. Таким образом, определенные свойства интактных натриевых каналов могут принципиально изменяться при изоляции клеточных мембран.

Z. A. Sorokina, I. V. Chizhmakov

DEPENDENCE OF THE TETRODOTOXIN BLOCKING OF INWARD SODIUM CURRENT ON THE CONTENT OF SODIUM IONS IN THE MEDIUM

The influence of external concentration of sodium ions on the parameters of tetrodotoxin blocking of the inward sodium current was studied on the isolated nerve cells from the rat spinal ganglia under conditions of the voltage clamp and intracellular perfusion. Stationary and kinetic characteristics of tetrodotoxin binding with sodium channels were investigated. Independent measurements of the rate constants for direct and inverse blocking reactions with different concentrations of sodium ions have shown that the dissociation constant K_d of the toxin-channel complex is independent of the external concentration of sodium ions, that testifies to the absence of the competition between tetrodotoxin and Na^+ for one binding centre. Arguments are presented which show that alternative results obtained by the study of the labelled toxin preparations' binding with isolated membrane fractions of different tissues may be induced by the specific changes in the conformation state of sodium channels.

A. A. Bogomoletz Institute of Physiology,
Academy of Sciences of the Ukrainian SSR, Kiev

1. Зубов А. Н., Наумов А. П., Ходоров Б. И. Действие батрахотоксина на натриевые каналы мембранных клеток нейробластомы // Цитология. — 1984. — № 4. — С. 415—423.
2. Крышталь О. А., Пидопличко В. И. Внутриклеточная перфузия гигантских нейронов улитки // Нейрофизиология. — 1975. — № 3. — С. 327—329.
3. Можаева Г. Н., Наумов А. П., Негуляев Ю. А. Влияние аконитина на некоторые свойства натриевых каналов мембранных перехватов Ранье // Там же. — 1976. — № 2. — С. 152—160.
4. Ревенко Е. В., Ходоров Б. И. Влияние батрахотоксина на селективность натриевых каналов в мембране миэлинизированного первого волокна // Там же. — 1977. — № 3. — С. 313—317.
5. Сорокина З. А., Чижмаков И. В., Еляков Г. Б. и др. Исследование механизма инактивации быстрых натриевых каналов с помощью нейротоксина из актинии *Radianthus macrodactylus* и различных химических реагентов // Физиол. журн. — 1984. — № 5. — С. 571—578.
6. Чемерис Н. К. Специфичность действия тетродотоксина на нейроны моллюска // Биофизика. — 1982. — № 4. — С. 738—739.
7. Baker P. F., Robinson K. A. TTX-resistant action potentials in crab nerve after treatment with Meerwein's reagent // J. Physiol. — 1977. — 266, N 1. — P. 3—4P.
8. Barchi R. L., Weigle J. B. Characteristics of saxitoxin binding to the sodium channel of sarcolemma isolated from rat skeletal muscle // Ibid. — 1979. — 295. — P. 383—396.
9. Colquhoun D., Ritchie J. M. The interaction at equilibrium between tetrodotoxin and mammalian non-myelinated nerve fibres // Ibid. — 1972. — 221, N 3. — P. 533—554.
10. Colquhoun D., Henderson R., Ritchie J. M. The binding of labelled tetrodotoxin to non-myelinated nerve fibres // Ibid. — 1972. — 227, N 1. — P. 95—126.
11. French R. J., Worley J. F., Krueger B. K. Voltage-dependent block by saxitoxin of sodium channels incorporated in planar lipid bilayers // Biophys. J. — 1984. — 45, N 3. — P. 301—312.

12. Fukuda J., Kameyama M. Tetrodotoxin-sensitive and tetrodotoxin-resistant sodium channels in tissue-cultured spinal ganglion neurons from adult mammals // Brain Res. — 1980. — 182, N 1. — P. 191—197.
13. Green W. N., Weiss L. B., Andersen O. S. Voltage- and Na^+ -dependent tetrodotoxin (TTX) block of batrachotoxin (BTX)-modified sodium channels // Biophys. J. — 1984. — 45, N 2, pt. 2. — P. 68—74.
14. Henderson R., Ritchie J. M., Strichartz G. R. Evidence that tetrodotoxin and saxitoxin act at a metal cation binding site in the sodium channels of nerve membrane // Proc. Nat. Acad. Sci. U. S. A. — 1974. — 71, N 12. — P. 3996—3940.
15. Hille B. The receptor for tetrodotoxin and saxitoxin: A structural hypothesis // Biophys. J. — 1975. — 15, N 5. — P. 615—619.
16. Huang L.-Y. M., Catterall W. A., Ehrenstein G. Comparison of ionic selectivity of batrachotoxin-activated channels with different tetrodotoxin dissociation constants // J. Gen. Physiol. — 1979. — 73, N 6. — P. 839—854.
17. Kao C. J. New perspectives on the interactions of tetrodotoxin and saxitoxin with excitable membranes // Toxicon. — 1983. — 21 (Suppl. 3). — P. 211—219.
18. Kao C. Y., Walker S. E. Active groups of saxitoxin and tetrodotoxin as deduced from actions of saxitoxin analogues on frog muscle and squid axon // J. Physiol. — 1982. — 323. — P. 619—637.
19. Kao P. N., James-Krake M. R., Kao C. J. The active guanidinium group of saxitoxin and neosaxitoxin identified by the effects of pH on their activities on squid axon // Pflügers Arch. — 1983. — 398. — P. 199—203.
20. Lazdunski M., Balera M., Barhanin J. et al. Biochemical studies of the structure, mechanism and differentiation of the voltage-sensitive sodium channel // Neurochem. Int. — 1980. — N 2. — P. 61—71.
21. Moczydlowski E., Garber S. S., Miller Ch. Batrachotoxin-activated Na^+ channels in planar lipid bilayers. Competition of tetrodotoxin block by Na^+ // J. Gen. Physiol. — 1984. — 84, N 5. — P. 665—686.
22. Moczydlowski E., Sherwood H., Garber S. S. et al. Voltage-dependent blockade of muscle Na^+ channels by guanidinium toxins. Effect of toxin charge // Ibid. — 1984. — 84, N 5. — P. 687—704.
23. Mozhayeva G. N., Naumov A. P., Nosyreva E. D. Effect of water-soluble carbodiimide on gating in sodium channels // Biochem. et biophys. acta. — 1984. — 774, N 2. — P. 288—292.
24. Narahashi T. Chemicals as tools in the study of excitable membranes // Physiol. Rev. — 1974. — 54, N 6. — P. 813—889.
25. Reed J. F., Raftery M. A. Properties of tetrodotoxin binding compound in plasma membranes isolated from electrophorus electricus // Biochemistry. — 1976. — 15, N 5. — P. 944—953.
26. Reed J. K., Trzos W. Interaction of substituted guanidines with the tetrodotoxin-binding component in Electrophorus electricus // Arch. Biochem. and Biophys. — 1979. — 195, N 3. — P. 414—422.
27. Rhoden V. A., Golden S. M. The binding of saxitoxin to axolemma of mammalian brain // J. Biol. Chem. — 1979. — 254, N 22. — P. 11199—11201.
28. Ritchie J. M., Rogart R. B. The binding of saxitoxin and tetrodotoxin to excitable tissue // Rev. Physiol. Biochem. and Pharmacol. — 1977. — 79, N 1. — P. 1—51.
29. Shrager P., Profera Ch. Inhibition of the receptor for tetrodotoxin in nerve membranes by reagents modifying carboxyl groups // Biochim. et biophys. acta. — 1973. — 318, N 1. — P. 141—146.
30. Spalding B. Properties of toxin-resistant channels produced by chemical modification in frog skeletal muscle // J. Physiol. — 1980. — 305. — P. 485—500.
31. Stefani E., Chiarandini D. I. Ionic channels in skeletal muscle // Ann. Rev. Physiol. — 1982. — 44. — P. 357—372.
32. Strichartz G. G. Structural determinants of the affinity of saxitoxin for neuronal sodium channels. Electrophysiological studies on frog peripheral nerve // J. Gen. Physiol. — 1984. — 84, N 2. — P. 281—305.
33. Ulbricht W. Kinetics of neurotoxin action at the nodal membrane // Hoppe-Seyler's Z. Physiol. Chem. — 1983. — 364, N 6. — P. 622—626.
34. Weigle J. B., Barchi R. L. Saxitoxin binding to the mammalian sodium channel: Competition by monovalent and divalent cations // FEBS Letters. — 1978. — 95, N 1. — P. 49—53.

Ин-т физиологии им. А. А. Богомольца
АН УССР, Киев

Поступила 15.07.85

ИЗМЕНЕНИЯ ПРИ РАЗДРА

Центральная регуляция слабо, хотя участвует в процессах, происходящих в физиологами и клиницистами.

В серии опытов, произведенных на кровоток в печени [7, 8], изменения в рефлекторных взаимодействиях вазомоторных структур выражены, то о нем идет речь [1, 3].

Цель настоящего опыта раздражения некоторыми составом классического венозного артерии и воротной областей.

Исследования выполнены на крысах массой 8—20 кг под наркозом. Электроды диаметром 1 mm изучаемые буллы вентрального и латерального мозга рассчитывали по атласу [1], координаты изучаемых булл вентрального и латерального мозга определялись от стимулятора ЭСЛ 50 с⁻¹; длительность импульса опыта на гистологически

Давление в сонной артерии и воротной вене записывалось с помощью электроманометра ЭСЛ 50 с⁻¹; длительность импульса давления на входе и выходе из кровенаполнения печени регистрировалась при помощи РГ 4-01 и определялась эксперимента. Запись всех параметров проводилась в ходе опыта на искусственное дыхание.

В ходе опыта животные на искусственное дыхание.

Средние значения давления в воротной вене — $(3,9 \pm 0,1)$ гПа, в мозге — $132,7 \pm 6,1$ мл/мин или в мозге — $(469,1 \pm 16,9)$ мл/мин.

Раздражение исследованного участка со значительными изменениями вызывало выраженные изменения (рис. 1, 2). Таких в 82 случаях из 100 были выявлены прессорные ре-

Физиол. журн., 1986, т. 32, № 4